



## 2015 年安徽省高考模拟试卷(三)

# 理科综合能力测试

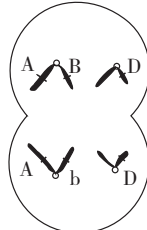
本试卷分第 I 卷(选择题)和第 II 卷(非选择题)两部分。全卷满分 300 分,考试时间 150 分钟。

### 第 I 卷(选择题 共 120 分)

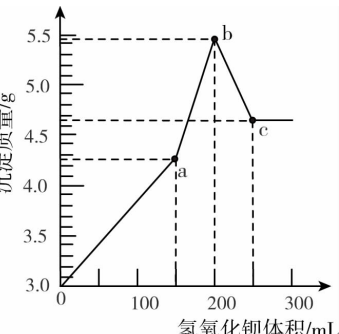
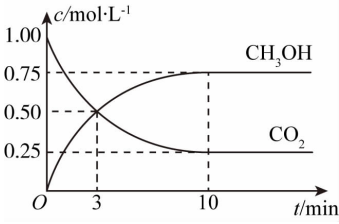
本卷共 20 小题,每小题 6 分,共 120 分。在每小题给出的四个选项中,只有一项是符合题目要求的。以下数据可供解题参考:

可能用到的相对原子质量(原子量):H 1 C 12 N 14 O 16 Al 27 S 32 Fe 56

1. 下列关于生物膜的结构和功能的叙述,正确的是
  - A. 生物膜上的蛋白质种类和数量决定其功能复杂程度
  - B. 生物膜的功能特性是流动性,其流动性受温度影响
  - C. 叶绿体类囊体薄膜上含有与光合作用有关的各种酶
  - D. 细胞癌变后细胞膜上糖蛋白增加,使癌细胞之间的黏着性显著降低
2. 下列关于细胞的物质输入与输出的叙述,正确的是
  - A. 小分子物质均是通过自由扩散或渗透方式出入细胞
  - B. 经胞吞吐方式进出细胞的一定是大分子物质
  - C. 协助扩散、胞吐均是顺浓度梯度转运,不消耗 ATP
  - D. 抑制细胞的呼吸对植物细胞质壁分离实验无明显影响
3. 某研究小组在我国首次发现了一种罕见的疾病——静脉血管畸形(VMCM),该病的发生与体内一种酶的分泌相关。如果相关基因异常,促使这种酶指导合成的蛋白质等异常堆积,最终导致发病。据此判断
  - A. 核糖体是该酶的加工场所
  - B. 基因突变是静脉血管畸形发病的直接原因
  - C. 上述事例说明基因通过控制蛋白质的结构来直接控制生物的性状
  - D. mRNA 是蛋白质合成过程的直接模板
4. 右图为某动物细胞分裂示意图,由图可以判断出
  - A. 该细胞一定处于减数第二次分裂的后期
  - B. 分裂后形成的子细胞不可能为体细胞
  - C. 该动物一定为雄性
  - D. 该细胞不可能发生基因重组
5. 某家兔的红眼对白眼为显性,基因(用 B、b 表示)位于 X 染色体上;灰毛对黑毛为显性(用 W、w 表示)位于常染色体上。现有一白眼灰毛雌兔与一红眼黑毛雄兔杂交,子一代雌雄兔全部表现为灰毛,但子一代出现了一只红眼雄兔。有关下列说法不正确的是
  - A. 若子一代红眼雄兔的性染色体组成为 XY,则子一代红眼雄兔出现的原因最可能是卵细胞形成过程基因突变
  - B. 若子一代红眼雄兔的性染色体组成为 XXY,则子一代红眼雄兔出现的原因最可能是初级精母细胞减数分裂异常
  - C. 若让子一代兔随机交配后淘汰 F<sub>2</sub> 的全部黑毛兔,则剩余的全部 F<sub>2</sub> 兔组成的种群中 W 的基因频率为 100%
  - D. 若让子一代兔随机交配,F<sub>2</sub> 出现红眼灰毛雌兔、白眼黑毛雄兔等非亲本类型的原因是基因重组
6. 人体内环境的相对稳定对细胞正常生命活动的完成非常重要。下列有关内环境稳态及调节的叙述正确的是
  - A. 人体内环境的稳态都要通过神经—体液—免疫调节机制来实现
  - B. 组织液中含有较多种类的蛋白质,而血浆和淋巴蛋白质含量较少
  - C. 体温恒定是维持细胞内酶活性的前提,其调节中枢位于下丘脑
  - D. 细胞外液渗透压降低时,会引起细胞吸水,此时抗利尿激素分泌增多



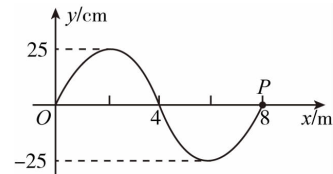
7. 一种新型的锅炉水添加剂的分子结构如图：
- 
- ,下列有关该分子的说法正确的是
- 化学式为:  $\text{CH}_4\text{N}_4\text{O}$
  - 分子中既含有极性键,又含有非极性键
  - 属于离子化合物
  - 分子中所有原子都共面
8. 下列有关明矾溶液的说法正确的是
- 该溶液中,  $\text{Na}^+$ 、 $\text{CO}_3^{2-}$ 、 $\text{Cl}_2$ 、 $\text{Mg}^{2+}$ 可以大量共存
  - 明矾净水原理的离子方程式为:  $\text{Al}^{3+} + 3\text{OH}^- \rightarrow \text{Al}(\text{OH})_3 \downarrow$
  - 加入过量的  $\text{BaCl}_2$  溶液发生反应的离子方程式:  $\text{Ba}^{2+} + \text{SO}_4^{2-} \rightarrow \text{BaSO}_4 \downarrow$
  - 常温下该溶液的  $\text{pH} > 7$
9. 为实现下列实验目的,依据下表提供的主要仪器,所用试剂合理的是
- | 选项 | 实验目的                              | 主要仪器和用品            | 试剂                            |
|----|-----------------------------------|--------------------|-------------------------------|
| A  | 除去氯化钠中的泥沙                         | 分液漏斗、烧杯            | 蒸馏水                           |
| B  | 分离淀粉溶液和氯化钠溶液                      | 试管、手电筒             | 淀粉溶液和氯化钠溶液                    |
| C  | 实验室制取乙烯                           | 铁架台(带铁圈)、圆底烧瓶、分液漏斗 | 乙醇、浓硫酸、水                      |
| D  | 用酸性 $\text{KMnO}_4$ 溶液测定亚硫酸钠样品的纯度 | 酸式滴定管、锥形瓶          | $\text{KMnO}_4$ 溶液、亚硫酸钠样品、蒸馏水 |
10. 在适当的条件下可以将  $\text{CO}_2$  和  $\text{H}_2$  混合合成甲醇和水:  $\text{CO}_2(\text{g}) + 3\text{H}_2(\text{g}) \rightleftharpoons \text{CH}_3\text{OH}(\text{g}) + \text{H}_2\text{O}$   $\Delta H = -49.0\text{ kJ} \cdot \text{mol}^{-1}$ 。在体积为 2L 的密闭容器中,加入 2mol 的  $\text{CO}_2$  和 6mol 的  $\text{H}_2$ , 测得  $\text{CO}_2(\text{g})$  和  $\text{CH}_3\text{OH}(\text{g})$  的浓度随时间变化的曲线如图所示。下列说法不正确的是
- 增大压强,化学平衡常数不变
  - 从反应开始到平衡,  $v(\text{H}_2) = 0.225\text{ mol/L} \cdot \text{min}$
  - 降低温度能使平衡体系中  $n(\text{CH}_3\text{OH})$  增大
  - 平衡时,氢气的转化率大于二氧化碳的转化率
11. 25℃时,下列溶液中各离子的浓度关系正确的是
- $\text{K}_2\text{CO}_3$  溶液:  $c(\text{K}^+) > c(\text{CO}_3^{2-}) > c(\text{H}^+) > c(\text{OH}^-)$
  - $\text{NaCN}$  溶液:  $c(\text{Na}^+) = c(\text{CN}^-) + c(\text{OH}^-)$
  - $\text{NaHSO}_3$  溶液:  $c(\text{H}^+) - c(\text{OH}^-) = c(\text{SO}_3^{2-}) + c(\text{H}_2\text{SO}_3)$
  - $\text{NaOH}$  和  $\text{CH}_3\text{COOH}$  混合溶液:  $c(\text{Na}^+) + c(\text{H}^+) = c(\text{CH}_3\text{COO}^-) + c(\text{OH}^-)$
12. 下列根据有关“规律”得出的“推论”正确的是
- | 选项 | 规律  | 推论  |
|----|---|---|
| A  | 在相同温度和压强下,相同体积的气体具有相同数目的分子  | 在标准状况下, 22.4L 氢气、氧气的混合气体与 22.4L 氨气、氯化氢的混合气体的分子数相等                             |
| B  | 强酸与强碱反应可表示为:<br>$\text{H}^+ + \text{OH}^- \rightarrow \text{H}_2\text{O}$ | 稀硫酸与氢氧化钡反应也可表示为:<br>$\text{H}^+ + \text{OH}^- \rightarrow \text{H}_2\text{O}$ |
| C  | 从上到下同主族元素的非金属性依次减弱  | 氮元素的非金属性比磷强   |
| D  | 酸性氧化物一般不与酸反应  | 二氧化硅不与任何酸反应   |
13. 在 100mL 0.1mol·L<sup>-1</sup> 铝铵矾 ( $\text{NH}_4\text{Al}(\text{SO}_4)_2 \cdot 12\text{H}_2\text{O}$ ) 的水溶液中,逐滴加入 0.1mol·L<sup>-1</sup>  $\text{Ba}(\text{OH})_2$  溶液,所得沉淀的质量与  $\text{Ba}(\text{OH})_2$  溶液的体积曲线如右图[已知  $\text{Ba}(\text{AlO}_2)_2$  易溶于水]。下列说法不正确的是
- 在 a 点溶液中大量存在的离子为  $\text{NH}_4^+$  和  $\text{SO}_4^{2-}$
  - 在 b 点溶液中  $c(\text{NH}_3 \cdot \text{H}_2\text{O})$  约为  $0.033\text{ mol} \cdot \text{L}^{-1}$
  - 在 a→b,发生的离子反应为:  $\text{Ba}^{2+} + \text{SO}_4^{2-} \rightarrow \text{BaSO}_4 \downarrow$
  - 在 b→c,反应的是  $\text{Al}(\text{OH})_3$
14. 2013 年 12 月 14 日,中国的嫦娥三号着陆器成功登陆月球虹湾附近区域并释放出“玉兔”号月球漫游车。该过程的最后阶段是:着陆器离月面  $h = 3.2\text{ m}$  高时速度减小为零,为防止发动机将月面上的尘埃吹起,此时要关



掉所有的发动机,让着陆器自由下落着陆。已知地球质量是月球质量的 81 倍,地球半径是月球半径的 4 倍,地球的第一宇宙速度为  $7.9 \text{ km/s}$ ,地球表面的重力加速度  $g_0 = 10 \text{ m/s}^2$ ,不计月球自转的影响,则下列说法正确的是

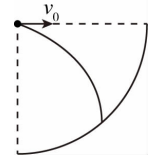
- A. 月球表面的重力加速度大小约为  $5 \text{ m/s}^2$
  - B. 嫦娥三号绕月球表面运行的速度大小约为  $1.8 \text{ km/s}$
  - C. 着陆器登陆月球的最后阶段处于超重状态
  - D. 着陆器落到月面时的速度大小约为  $8 \text{ m/s}$
15. 一简谐横波沿  $x$  轴正向传播,在  $t=0$  时刻的波形如图所示,此时该波刚传到  $x=8 \text{ m}$  处。再经过  $3.8 \text{ s}$  时,  $P$  质点第 5 次出现波峰。下列说法正确的是

- A.  $t=0$  时  $P$  点振动方向沿  $y$  轴正方向
- B. 该波的波速为  $5 \text{ m/s}$
- C. 从  $t=0$  时刻再经过  $\Delta t=1.6 \text{ s}$ ,  $x=2 \text{ m}$  处的质点向前传播  $\Delta x=8 \text{ m}$
- D. 从  $t=0$  时刻再经过  $\Delta t=1.4 \text{ s}$ , 坐标为  $x=16 \text{ m}$  处的质点第一次出现波峰



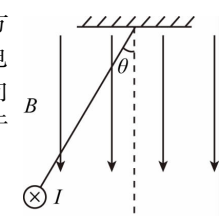
16. 如图所示,在一个位于四分之一圆弧的圆心处以水平初速度  $v_0$  抛出一个小球,小球做平抛运动。已知圆弧的半径为  $R$ ,则小球从抛出到落到圆弧上下落的高度为

- A.  $\frac{v_0^2}{g}$
- B.  $R - \frac{v_0^2}{g}$
- C.  $\frac{\sqrt{v_0^4 - (gR)^2}}{g}$
- D.  $\frac{\sqrt{v_0^4 + (gR)^2} - v_0^2}{g}$



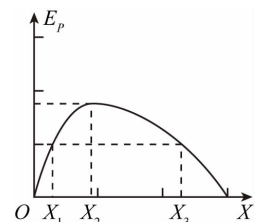
17. 绝缘细线下面悬挂一质量为  $m$ 、长为  $l$  的导线,如图所示为导线的横截面,导线置于方向竖直向下、磁感应强度为  $B$  的匀强磁场中,当在导线中通以垂直纸面向里的恒定电流  $I$  时,绝缘细线偏离竖直方向  $\theta$  角而静止。现将磁场方向由图示方向沿逆时针方向缓慢转动,转动时保持磁场的大小不变,在磁场转过  $90^\circ$  的过程中导线可认为始终处于平衡状态,则下列说法正确的是

- A. 导线受到的安培力  $F_A$  逐渐变大
- B. 绝缘细线受到的拉力  $F_T$  逐渐变大
- C. 绝缘细线与竖直方向的夹角  $\theta$  先增大后减小
- D. 导线受到的安培力  $F_A$  与绝缘细线受到的拉力  $F_T$  的合力大小不变,方向随磁场的方向而改变



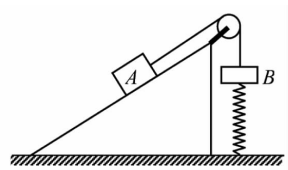
18. 一带负电的粒子在电场线沿  $x$  轴的电场中沿  $x$  轴正向运动,其电势能  $E_P$  随位移  $x$  的变化关系如图所示,则下列说法正确的是

- A.  $x_1$ 、 $x_2$ 、 $x_3$  处的电势  $\varphi_1$ 、 $\varphi_2$ 、 $\varphi_3$  的关系为:  $\varphi_1 > \varphi_2 > \varphi_3$
- B. 此电场为匀强电场
- C.  $x_2$  处电场强度为零
- D. 粒子由  $x_1$  到  $x_2$  和  $x_2$  到  $x_3$  电场力做功相等



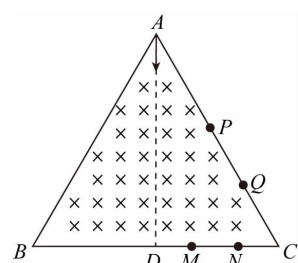
19. 如图所示,光滑固定斜面的顶端用一条跨过滑轮的轻绳连接 AB 两个物体,A 物体静止于斜面上,B 物体下端与弹簧栓接,弹簧固定在地面上,开始时用手握住 B 物体使弹簧位于原长,松手后,A 沿斜面加速下滑,则松手后到 A 物体达最大速度的运动过程中,下列说法错误的是

- A. 绳子中张力逐渐变大
- B. A 损失的重力势能转化为系统的动能与弹簧的弹性势能
- C. A 和 B 组成的系统损失的机械能转化为弹簧的弹性势能
- D. 绳子对 B 做的功等于 B 机械能的增量以及弹簧弹性势能的增量



20. 如图所示,等边三角形 ABC 区域中存在一垂直于纸面向里的匀强磁场,一带电粒子(不计重力)沿 AD 方向以不同的速度射入磁场,分别从 AC 边上的 P、Q 和 BC 边上的 M、N 射出,则下列说法正确的是

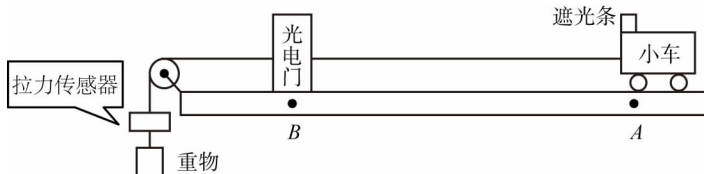
- A. 从 M 点射出的粒子速度最小
- B. 从 N 点射出的粒子速度最大
- C. 从 P 点射出的粒子比从 N 点射出的粒子在磁场中运动的时间短
- D. 从 P 和 Q 点射出的粒子在磁场中运动的时间一样长



## 第Ⅱ卷(非选择题 共 180 分)

21.(18分)

I.(8分)利用如图所示的实验装置以小车为对象来“探究合力功与物体动能改变的关系”,将光电门固定在轨道上的B点,用重物通过细线拉小车,连线上安装一拉力传感器。已知小车质量为M,保持小车质量不变,改变所挂重物质量m多次进行实验,每次小车都从同一位置A由静止释放( $g$ 取 $10\text{m/s}^2$ )。



(1)做该实验时,是否需要平衡摩擦力? \_\_\_\_\_(填“需要”或“不需要”)。

(2)若没有满足  $M \gg m$  对本实验 \_\_\_\_\_(填“有”或者“没有”)影响。

(3)在正确规范操作后,实验时除了需要读出传感器的示数F,测出了小车质量M,还需测量的物理量有 \_\_\_\_\_,验证动能定理的表达式为 \_\_\_\_\_(用测得的物理量表示)。

II.(10分)如图是某物理兴趣小组研究串联电路中电流、电压特点的实物连接图,两灯泡完全相同。

(1)如果开关闭合时,灯  $L_1$ 、 $L_2$  均不亮,电流表无示数,电压表有读数。如果故障是由灯泡引起的,则故障原因可能是( )

A.  $L_1$  断路    B.  $L_1$  短路    C.  $L_2$  断路    D.  $L_2$  短路

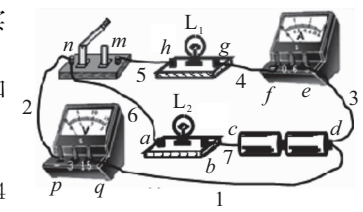
(2)此电路连线存在问题,应将导线 \_\_\_\_\_(填写导线的编号,如1、2、3、4等)的 \_\_\_\_\_端(填写“左”、“右”、“上”或“下”)连接到 \_\_\_\_\_点(填写字母,如a、b、c、d等)。

(3)如果开关闭合时,两灯均正常发光,此时电压表示数为U,电流表示数为I,已知电源电动势为E,电流表的内阻为  $R_A$ ,电压表为理想电表,则灯泡正常发光时的电阻为 \_\_\_\_\_,电源内阻为 \_\_\_\_\_。

22.(14分)某同学要测量物块P与一长木板的动摩擦因数,他测得物块质量为m,且已知物块与水平面间的动摩擦因数为  $\mu_0$ ,如图,该同学将木板倾斜放置,让物块在木板上某点由静止滑下,又在水平面上滑行了一段距离,他测出了释放点到水平面的高度h、释放点到木板底端的距离L及物块在水平面上的滑行距离s(不计物块通过木板与水平面交点时能量损失),求:

(1)物块与木板间的动摩擦因数;

(2)物块从释放到静止所用时间。



23.(16分)如图1所示,一对光滑的平行导轨(电阻不计)固定在同一水平面,导轨足够长且间距  $L=0.5\text{m}$  左端接有阻值为  $R=4\Omega$  的电阻,一质量为  $m=1\text{kg}$  长度也为  $L$  的金属棒MN放置在导轨上,金属棒的电阻  $r=1\Omega$ ,整个装置置于方向竖直向上的匀强磁场中,金属棒在水平向右的外力F作用下由静止开始运动,拉力F与导体棒速率倒数关系如图2,图象的延长线过原点(B点为实线与虚线的分界点),图象反映了导体棒在开始一段时间内时间内F和  $\frac{1}{v}$  的关系;最后时间段内拉力F和速度v均为B点所对应的大小保持不变,故图象上没有反映。求:

(1) $v=5\text{m/s}$  时拉力的功率;

(2)匀强磁场的磁感应强度;

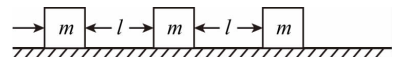
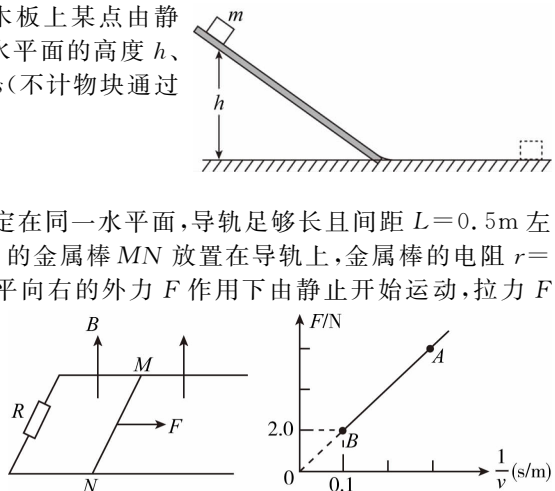
(3)若经时间  $t=4\text{s}$  导体棒达到最大速度,在这段时间内电阻R产生的热量为多大?

24.(20分)如图所示,粗糙的水平面上静止放置三个质量均为  $m$  的小木箱,相邻两小木箱的距离均为  $l$ 。工人用沿水平方向的力推最左边的小木箱使之向右滑动,逐一与其它小木箱碰撞。每次碰撞后小木箱都粘在一起运动。整个过程中工人的推力不变,最后恰好能推着三个木箱匀速运动。已知小木箱与水平面间的动摩擦因数为  $\mu$ ,重力加速度为  $g$ 。设碰撞时间极短,小木箱可视为质点。求:

(1)人推力大小;

(2)第一次即将碰撞时物块的速度大小;

(3)第一次碰撞和第二次碰撞中木箱损失的机械能之比。



25. (14 分)

C、Si、P、S、Cl 是几种重要的非金属元素,它们的单质及化合物在工农业生产中有着重要的应用,回答下列有关这几种元素及化合物的问题。

(1) P 位于周期表的第 \_\_\_\_ 周期第 \_\_\_\_ 族,该元素的基态原子核外有 \_\_\_\_ 个未成对电子, Si 的基态原子的电子排布式: \_\_\_\_\_。

(2) Si、P、S、Cl 四种元素的氢化物的稳定性由强到弱的顺序: \_\_\_\_\_(用化学式表示); C 和 Si 的电负性大小关系: \_\_\_\_\_(用元素符号表示)。

(3) 写出 Cl<sub>2</sub> 与 H<sub>2</sub>S 反应的化学方程式,并用双线桥法表示电子转移的方向和数目: \_\_\_\_\_。

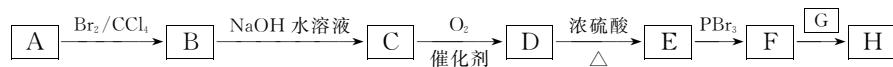
(4) 工业上用 CO<sub>2</sub> 和焦炭反应生成 CO, CO 可以用于炼铁,其反应原理为:



则 CO 还原 Fe<sub>2</sub>O<sub>3</sub> 的热化学方程式为: \_\_\_\_\_。

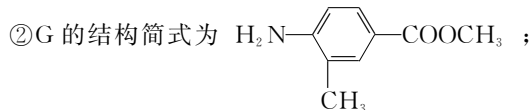
26. (16 分)

有机物 H 是一种重要的药物中间体,其合成路线如下:

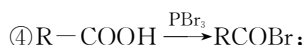


已知下列信息:

① 芳香烃 A 的分子式为 C<sub>9</sub>H<sub>10</sub>,分子中有一个含有一个甲基的侧链;



③ D 的相对分子质量为 166;



请回答下列问题:

(1) 写出 C 的结构简式: \_\_\_\_\_; 化合物 D 中含氧官能团的名称是 \_\_\_\_\_。

(2) H 在一定条件下能聚合成高分子,写出该聚合物的结构简式: \_\_\_\_\_。

(3) 写出 D 生成 E 的化学方程式: \_\_\_\_\_; 该反应的反应类型是 \_\_\_\_\_。

(4) E 的芳香族同分异构体中甚多,具有下列性质的同分异构体共有 \_\_\_\_\_ 种(不考虑立体异构)。

① 能发生银镜反应;

② 与氯化铁溶液发生显色反应;

③ 苯环上有两个取代基

上述同分异构体中,核磁共振氢谱中有 5 个吸收峰且峰面积之比为 1:1:2:2:2 的有机物的结构简式为 \_\_\_\_\_。

(5) 下列说法正确的是 \_\_\_\_\_。

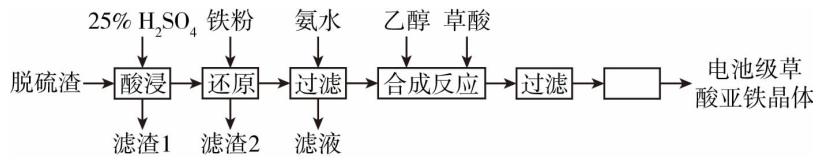
a. A 和苯乙烯互为同系物 b. D 和 F 的侧链上均含有 2 个 π 键

c. 0.1 mol E 完全燃烧消耗 22.4 L O<sub>2</sub>

d. G 能够发生加成、水解反应

27. (14 分)

草酸亚铁广泛用于涂料、染料及感光材料的生产,也是合成锂离子电池正极材料磷酸亚铁锂的原料。某工厂采用炼钢脱硫渣(主要成分为 Fe<sub>2</sub>O<sub>3</sub>)生产电池级草酸亚铁晶体的工艺流程如下:



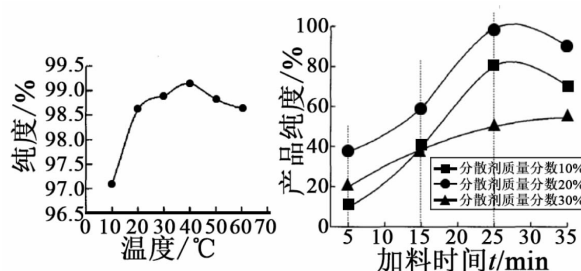
(1) “还原”过程中反应的离子方程式为: \_\_\_\_\_, Fe + 2H<sup>+</sup>  $\longrightarrow$  Fe<sup>2+</sup> + H<sub>2</sub>↑。

(2) 加入铁粉时,溶液的 pH 发生变化,滤渣 2 成分之一是 TiOSO<sub>4</sub> 水解生成的 H<sub>2</sub>TiO<sub>3</sub>。写出该反应的化学方程式: \_\_\_\_\_。

(3)“滤液”经处理得到一种农业上常用的化肥,其名称是\_\_\_\_\_。

(4)流程图中“\_\_\_\_\_”应进行的操作步骤的名称是\_\_\_\_\_。

(5)下图是反应温度、加料时间及分散剂的质量分数对草酸亚铁纯度的影响:



从图象可知,制备电池级草酸亚铁晶体的最佳实验条件是:反应温度为\_\_\_\_\_℃、加料时间为\_\_\_\_\_min、分散剂的质量分数为\_\_\_\_\_。

(6)  $\text{FeC}_2\text{O}_4 \cdot 2\text{H}_2\text{O}$  纯度的测定:准确称取  $\omega$  g  $\text{FeC}_2\text{O}_4 \cdot 2\text{H}_2\text{O}$  晶体于锥形瓶中,加入一定量的稀硫酸溶解,并加热至 50℃,用  $c \text{ mol} \cdot \text{L}^{-1}$   $\text{KMnO}_4$  标准溶液滴定,达到滴定终点时,用去  $V \text{ mL}$  标准溶液。滴定反应为(未配平):  $\text{FeC}_2\text{O}_4 \cdot 2\text{H}_2\text{O} + \text{KMnO}_4 + \text{H}_2\text{SO}_4 \rightarrow \text{Fe}_2(\text{SO}_4)_3 + \text{CO}_2 \uparrow + \text{MnSO}_4 + \text{K}_2\text{SO}_4 + \text{H}_2\text{O}$

则  $\text{FeC}_2\text{O}_4 \cdot 2\text{H}_2\text{O}$  的纯度为\_\_\_\_\_ (用含有  $\omega, c, V$  的代数式表示)。

28.(14 分)

某酸性工业废水中含有有机物 p-CP,资料显示:该废水中加  $\text{H}_2\text{O}_2$ ,所产生的羟基自由基能氧化降解污染物,少量的摩尔盐  $(\text{NH}_4)_2\text{Fe}(\text{SO}_4)_2$  可对该反应起催化作用,为进一步研究有关因素对该反应速率的影响,做如下探究:

(1)控制 p-CP 的初始浓度和催化剂的用量相同,完成以下实验设计表:

实验 编号	实验目的	T/K	pH	$c/10^{-3} \text{ mol} \cdot \text{L}^{-1}$
				$\text{H}_2\text{O}_2$
I	为以下实验做参照	298	3	6.0
II	温度对降解反应速率的影响	300	3	
III		298	10	6.0

(2)实验测得 p-CP 浓度随时间变化的曲线如图所示。

①请根据曲线 I 计算:降解反应在 50—300s 内的平均反应速率  $v(p-\text{CP}) =$ \_\_\_\_\_, 300s 时 p-CP 的降解率 = \_\_\_\_\_。

②实验 I、II 表明温度升高,降解速率增大,但是反应温度过高时导致降解反应速率减小,请从使用  $\text{H}_2\text{O}_2$  的角度分析原因:\_\_\_\_\_。

③实验 III 得出的结论是 pH=10 时,\_\_\_\_\_。

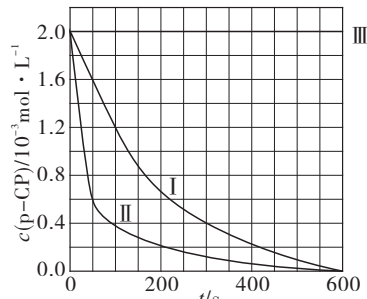
(3)研究小组对摩尔盐  $(\text{NH}_4)_2\text{Fe}(\text{SO}_4)_2$  中起催化作用的成分提出如下的假设,请完成假设二和假设三:

假设一:  $\text{Fe}^{2+}$  起催化作用;

假设二:\_\_\_\_\_;

假设三:  $\text{SO}_4^{2-}$  起催化作用。

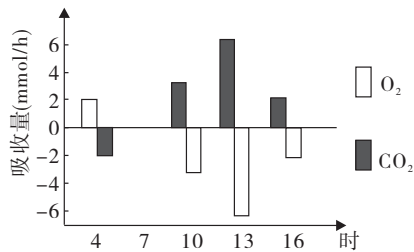
(4)请你设计实验证明假设一。[除了上述提供的试剂外,还可选用  $(\text{NH}_4)_2\text{SO}_4$ 、 $\text{FeSO}_4$ 、 $(\text{NH}_4)_2\text{SO}_4 \cdot \text{K}_2\text{SO}_4 \cdot 12\text{H}_2\text{O}$ 、 $\text{K}_2\text{SO}_4$ ,溶液中的 p-CP 的浓度可通过仪器测定]



实验方案 (不要求写具体操作过程)	预期实验结果和结论

29. (24 分)

I . (10 分) 科研小组为探究某一植物新品种的光合作用速率和细胞呼吸速率, 将一定数量的该新品种植株置于密闭装置中(日光照射、恒温), 在不同的时间段所测得的植株从环境中吸收  $\text{CO}_2$  和  $\text{O}_2$  的量如图所示, 请据图回答下列问题:

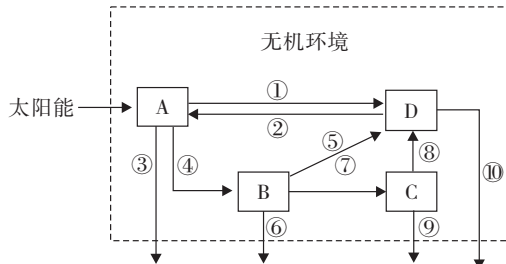


(1) 上午 7 时测得  $\text{CO}_2$  和  $\text{O}_2$  的吸收量均为  $0\text{ mmol}/\text{h}$ , 此时植物光合作用速率为 \_\_\_\_\_  $\text{mmol}/\text{h}$ , 13 时植物在  $1\text{ h}$  内通过光合作用利用  $\text{CO}_2$  的量为 \_\_\_\_\_  $\text{mmol}$ 。

(2) 16 时与 13 时相比, 植物吸收的  $\text{CO}_2$  较少, 主要的环境因素是 \_\_\_\_\_, 若在 13 时短暂停止光照一段时间, 这段时间内吸收  $\text{CO}_2$  的量和释放  $\text{O}_2$  的量分别 \_\_\_\_\_ (填“增加”、“不变”或“减少”)。

(3) 冬季, 密封的温室内容易因  $\text{CO}_2$  缺乏而导致作物产量下降, 生产中经常用施加农家肥的方法来增加温室内  $\text{CO}_2$  的含量, 原理是 \_\_\_\_\_。

II . (14 分) 下图虚线方框内表示一个生态系统, 箭头表示该生态系统的能量流动。请据图回答



(1) 该生态系统至少有 \_\_\_\_\_ 个种群, 图中箭头方向错误的是 \_\_\_\_\_ (填序号)。

(2) 图中处于第二营养级的生物是 \_\_\_\_\_, 与 B 相比, C 所同化的能量去向的特点为 \_\_\_\_\_。

(3) 图中 D 通过 \_\_\_\_\_ 和 \_\_\_\_\_ 两种方式将生物组织的碳放回大气中。

(4) 研究发现, 该生态系统中的动、植物群落在空间均有分层现象, 群落的这种空间结构称为 \_\_\_\_\_。一般认为动物的分层与 \_\_\_\_\_ 有关, 植物的垂直结构与 \_\_\_\_\_ 有关。

(5) 食草动物能够消化食物的关键是体内存在 \_\_\_\_\_ 酶, 能够降解纤维素, 该酶是一种复合酶, 它至少包括 \_\_\_\_\_。

30. (14 分)

肾上腺皮质激素由肾上腺皮质分泌, 肾上腺皮质激素的分泌受下丘脑和垂体调节。图解如下:



研究表明: 肾上腺皮质激素可抑制免疫应答, 激素 b 具有抑制抗体产生的功能, 淋巴因子 IL-1 能促进激素 a 的分泌。请分析回答:

(1) 激素 a 是 \_\_\_\_\_, 激素 b 是 \_\_\_\_\_, 如图所示的激素分泌调节机制属于 \_\_\_\_\_ 调节。

(2) 当人受到惊吓时, 下丘脑可以通过神经系统直接调节肾上腺皮质激素的分泌, 这种调节的基本方式是 \_\_\_\_\_, 结构基础是 \_\_\_\_\_。

(3) 激素 b 通过影响 \_\_\_\_\_ 细胞的活动而抑制抗体产生, 器官移植时使用肾上腺皮质激素的目的是 \_\_\_\_\_。

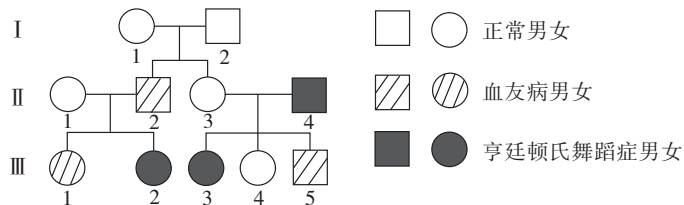
(4) 淋巴因子 IL-1 由 \_\_\_\_\_ 细胞分泌, 淋巴因子 IL-1 能促进激素 a 的分泌的事实说明下丘脑细胞膜上具有识别淋巴因子 IL-1 的 \_\_\_\_\_。

(5) 淋巴因子 IL-1 是人体内的由免疫细胞合成并分泌的一种蛋白质, 传统生产方法成本高、产量低, 基因工程为其培育提供了可能性, 为使目的基因的遗传特性得以稳定维持和表达, 需将目的基因插入

\_\_\_\_\_。若想确定受体细胞中是否导入了淋巴因子 IL-1 基因,常用的检测方法是\_\_\_\_\_。

31.(16 分)

亨廷顿氏舞蹈症是一种单基因遗传病,患病的原因之一是患者第四对染色体内 DNA 的 CAG 三核苷酸重复序列过度扩张,造成脑部神经细胞持续退化,细胞内合成的异常蛋白质积聚成块,损坏部分脑细胞,出现不可控制的颤搐,并能发展成痴呆,甚至死亡。下图为某家族亨廷顿氏舞蹈症(设基因为 B、b)和血友病(设基因为 H、h)的遗传家系图,其中 II<sub>4</sub> 不携带血友病致病基因。请分析回答下列问题:



(1)亨廷顿氏舞蹈症患者病因是细胞内第四对染色体内 DNA 的 CAG 三核苷酸重复序列过度扩张,可判断该变异属于\_\_\_\_\_。

(2)III<sub>4</sub> 的基因型是\_\_\_\_\_;II<sub>1</sub> 和 II<sub>3</sub> 基因型相同的概率为\_\_\_\_\_。

(3)若 III<sub>5</sub> 的性染色体组成为 XXY,则其可能是由性染色体组成为\_\_\_\_\_的卵细胞和性染色体组成为\_\_\_\_\_的精子受精发育而来。

(4)若 III<sub>1</sub> 与一正常男人婚配,他们所生的孩子最好是\_\_\_\_\_ (填男或女) 性,为确保出生的后代正常,采取\_\_\_\_\_ 的优生措施,最大限度避免患儿的出生,最好在妊娠 16~20 周进行羊水穿刺获取羊水细胞的\_\_\_\_\_,从分子水平对疾病做出诊断。



微信扫一扫